

京都大学工学部 正員 小西一郎
 京都大学工学部 正員 白石成人
 徳島大学工学部 正員 ○宇都宮英考

1. まえがき

筆者等は徳島県の協力の下に、昭和47年以来、徳島県鳴門市の小鳴門橋において、自然風と橋梁の耐風応答の観測を続けて来た。前回の報告⁽¹⁾では、予備観測の段階での台風観測結果を発表したが、以後現在に至るまでに、台風と対象とした強風観測の機会は訪れていない。今回アーチとして報告するのは、1973年11月および1974年1月の冬期季節風に関するものである。この観測データの分析結果から判断すると、小鳴門橋の耐風応答を推定する場合には、従来の10分窓といふ評価時間では不十分であり、より短時間のデータを用いなければ、変動風と応答の間に有意な相関を見出すことが困難であるといふことが推察された。なお測定点は、予備観測の結果新しく Sec B, Sec D からて風速と加速度応答を測定することになった(図-1)。

2. 季節風および応答の統計的性質

上述の2種の季節風のうち前者は、車両と全面通行止めにした折の測定結果であり、以下の応答に関する諸量はすべてこの観測の結果得られたものである。後者は変動風の左側的な分布を知る目的で行われ、風速のみを測定した。なお風向は前者が北東、後者が東北東であり、橋軸にほぼ直角方向である。データ長(T)を10分窓として分析された統計量のうち、季節風に特有の現象と予測させるものがいくつか認められたが、要約すれば以下の通りである。

(i) 平均風速(5~15 m/sec)の分布が図-2に示すように台風時とはかなり異っており、高さ方向の変動も少ない。この結果、乱れの強さについても、塔頂部と橋梁部とで同程度のものとなっている。小鳴門橋は海面上25mにあり、周囲の山陵がこれよりはるかに高い位置にあるために、このような現象が見られたものと思われる。

(ii) 台風時の乱れの構造は、一様な乱れに近い性質を

示していたが、季節風の乱れは、一様性乱れと、いわゆる気象学的なレベルのスケールと有する周期性の変動成分によって構成されている。

(iii) 季節風の乱れのスケールは、台風のそれと同程度の数十mのオーダーのものの中、上記周期成分に対する数百mのものが重畠された形となっている。季節風の場合には平均風速が小さく、乱れの拡散エネルギーが台風の場合より小さいと考えられ、上空の変動の影響が残っているものと思われる。

(iv) 各測定点の風速のクロススペクトルから判断すれば、

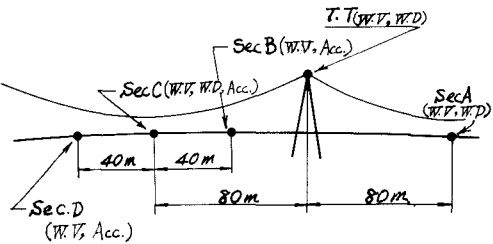


Fig. 1 Observation-Position on the Bridge

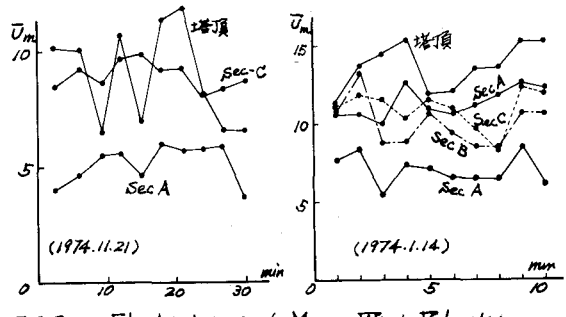


Fig. 2 Fluctuations of Mean Wind Velocity

Table 1. Wind Data of Typhoon + Monsoon ($T=10\text{min}$)

Position	Data	\bar{U}	\bar{U}^2	\bar{U}^3/\bar{U}	$L(\text{scale})$
Sec C	'72.9.16	15.2 m/s	2.29 m/s ²	0.15	30.0 m
	'73.1.21-a	10.8	1.44	0.13	122.6
	'73.1.21-b	9.3	1.28	0.14	99.6
	'74.1.14	10.8	1.17	0.11	80.0
T.T	'72.9.16	25.2	6.30	0.25	44.0
	'73.1.21-a	12.9	4.61	0.36	50.0
	'73.1.21-b	9.1	4.15	0.46	59.3
	'74.1.14	13.6	2.40	0.18	60.0
Sec A	'74.1.14	11.3	1.94	0.18	58.0
Sec B	"	9.9	1.49	0.15	76.0
Sec D	"	7.0	1.01	0.15	44.0

0.3C/sec以上の変動成分に対する相関は殆どゼロであり。0.03~0.06C/secの付近でピークを有している。これは前述の弱い周期性(波長150~300m)の変動成分の存在を考慮すれば妥当な結果であると言える。

(V)観測された応答量は最大振幅で3cm以下であり、たるのパワースペクトルも台風時のそれの半～三分の一の値を示し、常時車輌によって生じる振動と同レベルであった。本実験における加速度記録から、対称1次、非対称1次モードの存在が認められたが、全体的に台風時に比べて出現する応答モードは複雑であり明確な分離が困難な場合もあつた。応答は風の時間、空間的変動の下での不規則外力による強制振動の様相を示している。

3. 統計量の評価時間について

上述の分析は全て10分間の評価時間に対して行われた。これらのデータに基づき、Davenport⁽²⁾の方法によって応答量を推定すると、応答スペクトルの形状は比較的良好一致するが、定量的には非常に大きく異ってくる。この原因の一つとして風速の空間分布に関するパラメータへの値が測定値と異っていることが指摘されている。しかし、小鳴門橋付近では、この空間分布も時間的に大きく変動しており、10分間の平均値は、このような非定常的な風速の変動あるいは小鳴門橋の応答の変動等の性質を適確に把握得ないことも考えられる。このため、定常確率過程の分析手法を適用できる範囲で、且つ分析誤差が有意水準以下になるよう、短時間のデータ長を、Run Testと相関関数分析の誤差理論によって求め、この結果、80秒程度のデータによって統計的な処理を行いうるべく推定した。ここでは10分間データを便宜上10等分して、各1分間毎の統計量を求めてみた。

図-4は風速の自己相関関数であるが、10分間データに対するものは大旨指數関数表示が可能な形状であるが、短時間データを見るとこの結果が周期的変動の平均的半値として現われたものであることが推定される。図-5は応答の自己相関であり基本モードと高次モードによる振動が別の時間帯に現われていることを示している。図-6は流れのスケールの時間的・空間的変動を示すものである。このような短時間データにより応答と風速変動の相関を求めるより10分間データでは認められなかつた有意な相関の存在が明らかにする(図-7)。

4. 結論

複雑な乱れ(局所的な乱れ)に対しては、従来用いられている

Fig.7 Correlatogram (Wind and Response) 1973.11

10分間よりも、さらに短いデータによって統計量を推定する方が妥当を推論を行えることを示唆した。短時間データ長の決定には、今後さらに収集を検討が必要であるが、ここでは2:3の必要条件のみで考察を行っている。

(参考文献) (1) 小西、白石、寺井院: 小鳴門橋の対風応答について; 第28回年次学術講演会概要集(昭48年)

(2) A.G. Davenport; A Statistical approach to the treatment of Wind loading on tall masts and suspension bridges, PhD Diss., Univ. of Bristol.

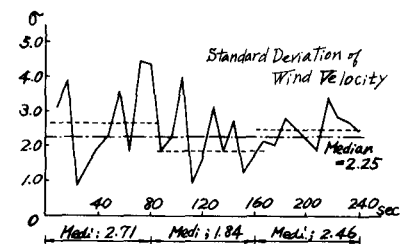


Fig.3 Run Test for Stationarity

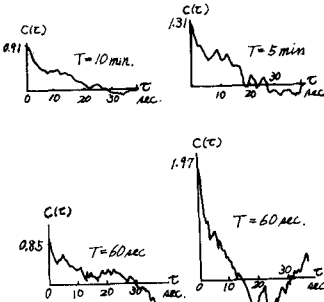


Fig.4. Autocorrelation of Wind Velocity at Sec.C (1973.11)

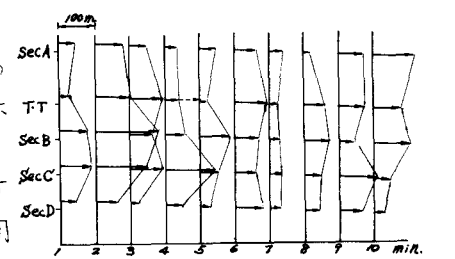


Fig.6 Scale of Turbulence in each One-minute (1974.1)

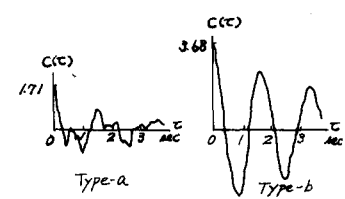


Fig.5 Typical Auto-Correlation of Acceleration at Sec-C (1973.11)